

## О НЕКОТОРЫХ ВОПРОСАХ ТЕОРИИ ПОДОБИЯ ПРИ ПЛАСТИЧЕСКИХ ДЕФОРМАЦИЯХ

*B. E. Семенов*

Применение математического анализа к изучению многих технологических процессов обработки металлов давлением, физическая сущность которых хорошо известна, зачастую безуспешно. Это проявляется в одних случаях в том, что, умея составить соотношения (уравнения) между параметрами, описывающими процесс, мы не можем найти из них выражение интересующих нас параметров через другие. В других случаях мы идем на ряд упрощений, часто очень грубых, чтобы все-таки получить такие выражения, чем в значительной степени снижаем ценность наших выводов.

В этих случаях большую помощь может оказать теория подобия, отвечающая на вопрос, как использовать результаты единичного опыта для других случаев, а также метод моделирования, основанный на этой теории и показывающий, каким требованиям должна удовлетворять модель, чтобы процессы, протекающие в ней, были подобны явлениям в натуре.

Теория подобия и моделирование успешно применяются при решении самых различных вопросов науки и техники. Однако как теоретических, так и экспериментальных работ, посвященных моделированию технологических процессов, очень немного, хотя общая теория подобия, нашедшая широкое применение в других областях, может быть применена и здесь. Наиболее важными работами, относящимися к моделированию технологических процессов, являются работы В. Л. Кирпичева [1], Н. Н. Давиденкова [2], С. И. Губкина [3], А. А. Ильюшина [4].

Дальнейший анализ условий подобия протекания технологических процессов и их моделирования является необходимым. И не случайно Ленинградская научно-производственная технологическая конференция 1951 года в качестве одной из основных проблем, требующих немедленного разрешения, рекомендовала «дальнейшую разработку принципов моделирования процессов обработки металлов давлением» [5].

В известных нам работах ([1], [2], [3], [4] и др.) рассматривается вопрос о подобии при пластическом деформировании в стадии нагружения. Но в технологических процессах нас в первую очередь интересует достижение необходимой формы детали после снятия всех формообразующих усилий. В связи с этим в настоящей заметке рассматривается не только нагрузка, но и разгрузка при обычных скоростях и температурах деформирования.

### Закон подобия Кирпичева и подобие механических свойств материалов

Технологический процесс обработки металлов давлением в стадии возрастания деформирующих усилий при обычных скоростях и деформациях может быть описан рядом уравнений теории пластиночности, анализ

размерностей которых приводит к следующему выводу [4]: равенство соответствующих относительных деформаций и подобие напряженных состояний в соответствующих точках геометрически подобных деформируемых подобно расположеными внешними силами тел будет обеспечено, если коэффициенты трения пар инструмент—заготовка будут одинаковы, сопротивления трения пропорциональны соответствующим пределам текучести и механические свойства рассматриваемых материалов подобны между собой. Подобие механических свойств означает:

$$\frac{\sigma_2}{\sigma_1} = \frac{\sigma_{s2}}{\sigma_{s1}} = \frac{k_2}{k_1}, \quad (1)$$

где  $\sigma_1$  и  $\sigma_2$  — напряжения на диаграммах напряжение — деформация рассматриваемых материалов при одной и той же относительной деформации  $e$ ;

$\sigma_{s2}$  и  $\sigma_{s1}$  — напряжения предела текучести,  
 $k_1$  и  $k_2$  — модули объемного расширения.

При всех перечисленных выше условиях в соответствующих точках при одинаковых относительных деформациях  $e$  имеем:  
для удельных давлений  $p$

$$\frac{p}{\sigma_s} = i \text{ dem} \quad (2)$$

для усилий  $P$

$$\frac{P}{\sigma_s L^2} = i \text{ dem}, \quad (3)$$

где  $L$  — какой-либо характерный линейный размер,  
для мощностей  $H$

$$\frac{H}{\sigma_s L^3} = i \text{ dem}. \quad (4)$$

Соотношения (2), (3) и (4) составляют закон подобия В. Л. Кирпичева.

Остановимся более подробно на подобии диаграмм  $\sigma = \Phi(e)$ . Две диаграммы интенсивность напряжения — интенсивность деформации  $\sigma_2 = \Phi_2(e)$  и  $\sigma_1 = \Phi_1(e)$  называются подобными по напряжениям,

если отношение  $\frac{\sigma_2}{\sigma_1} = k_s = \text{const}$  при любых одинаковых на обеих диаграммах деформациях.

Величину  $k_s$  будем называть коэффициентом подобия диаграмм по напряжениям.

На рисунке 1 приведены две подобные по напряжениям диаграммы с  $k_s = 1,5$ . Для подобных диаграмм  $\frac{\sigma_2 - \sigma_1}{\sigma_1} = k_s - 1 = \text{const}$ .

Это соотношение дает удобный способ выявления подобия по напряжениям двух диаграмм: если избыток напряжения  $\sigma_2$  на одной диаграмме над напряжением  $\sigma_1$  на другой при одной и той же деформации  $e$ , то есть  $\sigma_2 - \sigma_1$ , составляет одну и ту же часть от  $\sigma_1$  (или  $\sigma_2$ ), то диаграммы подобны. Так для диаграмм, приведенных на рисунке 1,

$$\frac{\sigma_2 - \sigma_1}{\sigma_1} = \frac{1}{3}.$$

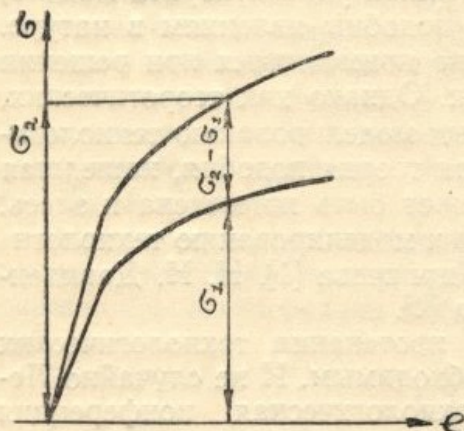


Рис. 1.

Как видим, о подобии диаграмм можно судить по результатам механических испытаний, то есть использовав диаграммы в их „натуральном“ виде, не прибегая к их аналитическому приближению.

В практике используются различные виды диаграмм напряжение—деформация  $\sigma - e$ ,  $\sigma + \ln(1+e)$ ,  $\sigma - \psi$ ,  $\sigma_{\text{усл}} - e$ ,  $\tau - \gamma$ .

Возникает вопрос, следует ли из подобия диаграмм одного вида, например  $\sigma - e$ , подобие их в другом виде. Покажем, что это так.

О подобии двух диаграмм мы судим по отношению напряжений  $\frac{\sigma_2}{\sigma_1}$ , равных для обеих диаграмм относительных деформаций  $e$ . Но если одинаковы  $e$ , то одинаковы и  $\ln(1+e)$  и, следовательно, из подобия диаграмм  $\sigma - e$  следует подобие  $\sigma - \ln(1+e)$ .

Точно так же из равенства  $e$  следует равенство  $\psi \left( \frac{e}{1+e} \right)$ , то есть из подобия диаграмм  $\sigma - e$  следует подобие диаграмм  $\sigma - \psi$  с тем же  $k_\sigma$ .

Если  $\frac{\sigma_2}{\sigma_1} = k_\sigma$  для любых равных на двух диаграммах относительных деформаций  $e$ , то

$$\frac{\sigma_{2 \text{ усл}}}{\sigma_{1 \text{ усл}}} = \frac{\sigma_2 / 1 + e}{\sigma_1 / 1 + e} = \frac{\sigma_2}{\sigma_1} = k_\sigma,$$

то есть диаграммы  $\sigma_{\text{усл}} - e$  также подобны с тем же  $k_\sigma$ .

Точно так же для  $\tau - \tau(\gamma)$  имеем

$$\frac{\tau_2(\gamma)}{\tau_1(\gamma)} = \frac{\sigma_2(e\sqrt{3})/\sqrt{3}}{\sigma_1(e\sqrt{3})/\sqrt{3}} = \frac{\sigma_2}{\sigma_1} = k_\sigma.$$

Итак, подобие диаграмм по напряжениям и их коэффициент подобия  $k_\sigma$  можно (по крайней мере в пределах равномерной деформации) устанавливать по любому из видов диаграмм, используемых в практике.

Введем понятие о диаграммах, подобных по деформациям.

Диаграммы  $e_1 = e_1(\sigma)$  и  $e_2 = e_2(\sigma)$  будем называть подобными по деформациям, если для любых, но равных на обоих диаграммах напряжений  $\sigma$  имеем  $\frac{e_2}{e_1} = k_e = \text{const.}$

Так как для диаграмм на рисунке 2  $\frac{e_2}{e_1} = k_e = 1.5$ .

Рассмотрим теперь условие подобия механических свойств (1) при нагружении. Физическую сущность этого условия выясним из рассмотрения величины работы деформации. Полная работа деформации  $w$ , приходящаяся на единицу деформируемого объема, состоит из работы по изменению формы  $w_F$  и работы по изменению объема  $w_0$ , так что

$$w = w_F + w_0,$$

причем

$$w_F = \int_0^e \sigma de \quad \text{и} \quad w_0 = \frac{k\theta^2}{2},$$

где  $\theta$  — относительное изменение объема.

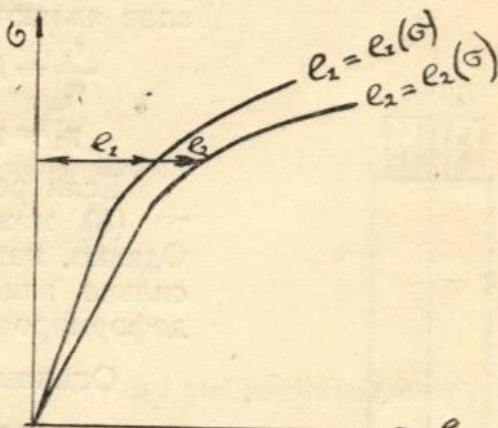


Рис. 2.

Рассмотрим случай деформирования двух геометрически подобных тел с подобными по напряжениям диаграммами  $\sigma_1 = \Phi_1(e)$  и  $\sigma_2 = \Phi_2(e)$ , предполагая, что все условия подобного деформирования, сформулированные выше, выполнены.

Для работ имеем

$$w_1 = \int_0^e \sigma_1 de + \frac{k_1 \theta^2}{2}$$

$$w_2 = \int_0^e \sigma_2 de + \frac{k_1 \theta^2}{2}.$$

Из этих выражений видим, что при  $\frac{\sigma_2}{\sigma_1} = k_\sigma$  будет

$$\omega_2 = k_\sigma \omega_1, \quad (5)$$

если только  $\frac{\sigma_2}{\sigma_1} = \frac{k_2}{k_1}$ , то есть при условии (1).

Если в последнем соотношении заменить  $k$  через коэффициент Пуансона  $\mu$  и модуль упругости  $E$ , то получим

$$\frac{\sigma_2}{\sigma_1} = \frac{E_2}{E_1} \frac{1 - 2\mu_1}{1 - 2\mu_2}.$$

Но

$$\frac{\sigma_2}{\sigma_1} = \frac{E_2}{E_1} = k_\sigma,$$

поэтому из последнего соотношения получаем  $\mu_1 = \mu_2$ .

Следовательно, условиями подобия механических свойств материалов являются

$$\frac{\sigma_2}{\sigma_1} = k_\sigma = \text{const.} \quad (7)$$

$$\mu_1 = \mu_2 \quad (8)$$

Если речь идет о двух различных материалах, то (8) может выполняться лишь приближенно. Однако, как мы сейчас убедимся, это не может сильно влиять на нарушение подобных условий деформирования при пластических деформациях.

Оценим величину работы  $w_0 = \frac{k\theta^2}{2}$  на примере растяжения круглого образца.

Имеем (рис. 3)  $e_y = e_z = -\mu e_x$ .

Следовательно,

$$\theta = e_x + e_y + e_z = (1 - 2\mu) e_x.$$

Значит

$$w = \int_0^{e_x} \sigma_x de_x + \frac{E(1 - 2\mu)}{6} e_x^2.$$

Если рассматривать деформирование только в пределах упругости, то  $w = \frac{E e_x^2}{2} \left(1 + \frac{1 - 2\mu}{3}\right)$ , откуда видно,

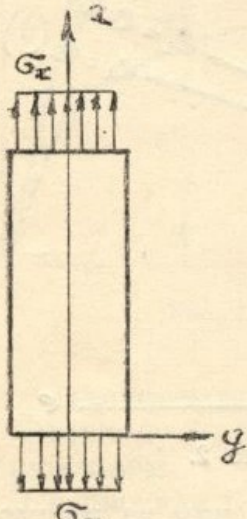


Рис. 3.

что

$$\frac{w_0}{w_\Phi} = \frac{1 - 2\mu}{3}. \quad (9)$$

Если взять  $\mu = \frac{1}{3}$ , то  $\frac{w_0}{w_\Phi} = \frac{1}{9}$ , а так как уже на пределе текучести  $\mu = 0,4$  [6], то  $\frac{w_0}{w_\Phi} = 0,07$ , то есть работа по изменению объема уже при небольших пластических деформациях составляет лишь небольшую часть всей работы деформирования. А если учесть, что при больших пластических деформациях  $\mu$  приближается к 0,5, то можно сделать вывод, что работа по изменению объема  $w_0$  настолько мала, что ее можно пренебречь. Поэтому условием (8) можно пренебречь и считать, что при пластических деформациях в стадии нагрузки условием подобия механических свойств двух материалов является только подобие диаграмм напряжение — деформация (7).

Это обстоятельство очень важно с практической точки зрения, так как определение  $\mu$  для образцов, особенно плоских, затруднено [6].

### Об остаточных деформациях после разгрузки

Пусть два тела из материалов с подобными механическими свойствами нагружены усилиями, величины которых удовлетворяют закону подобия Кирпичева [3] (все условия подобия, разумеется, выполнены) и вызывают в деформируемых телах напряжения выше предела текучести.

При этом относительные деформации  $e$  в сходственных точках будут одинаковы. После снятия усилий получаем

$$e_{1\text{ ост}} = -\frac{\sigma_1}{E_1}$$

$$e_{1\text{ ост}} = e - \frac{\sigma_2}{E_2}.$$

Но из подобия диаграмм по напряжениям имеем

$$\frac{\sigma_2}{E_2} = \frac{\sigma_1}{E_1}, \text{ так как } \frac{\sigma_2}{\sigma_1} = \frac{E_2}{E_1} = k_s$$

и поэтому

$$e_{10\text{ см}} = e_{20\text{ см}}.$$

Но это относится к каждой точке тела, поэтому после снятия нагрузки тела будут геометрически подобными.

Рассмотрим разгрузку двух материалов с диаграммами, подобными по деформациям, если они были нагружены так, что напряжения  $\sigma$  в соответствующих точках были одними и теми же.

Из равенства напряжений имеем

$$E_2(e_2 - e_{20\text{ см}}) = E_1(e_1 - e_{10\text{ см}}). \quad (10)$$

Но из подобия диаграмм по деформациям следует

$$\frac{E_1}{E_2} = k_e$$

$$\left( \text{так как } \frac{E_1}{E_2} = \frac{\sigma/e_1}{\sigma/e_2} = \frac{e_2}{e_1} = k_e \right).$$

Подставив

$$e_2 = k_e e_1 \text{ и } \frac{E_1}{E_2} = k_e \text{ в (9),}$$

получаем

$$e_{2 \text{ ост}} = k_e e_{1 \text{ ост}}. \quad (11)$$

Следовательно, если диаграммы подобны по деформациям с коэффициентом подобия  $k_s$ , то после разгрузки материалов с одинаковых напряжений распределение остаточных деформаций также будет подобным с тем же коэффициентом подобия  $k_e$ .

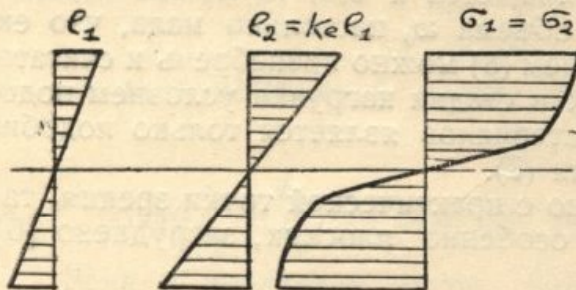


Рис. 4.

Простейшим примером, иллюстрирующим (11), может быть следующий. Две геометрически одинаковых балки, изготовленных из материалов с подобными по деформациям диаграммами, нагружены моментом одной и той же величины такой, что напряжения в крайних волокнах выше  $\sigma_s$ . Тогда распределение напряжений по высоте сечения будет

одинаковым, а распределение деформаций подобным (рис. 4).

После снятия моментов распределение остаточных деформаций по высоте сечения будет также подобным (11), а остаточных напряжений — одинаковым.

## ВЫВОДЫ

1. Рассмотрено подобие диаграмм напряжения — деформация по напряжениям. Показано, что о подобии диаграмм по напряжениям можно судить по любому из видов встречающихся в практике диаграмм в их «натуральном» виде (то есть без аналитического приближения), причем коэффициент подобия  $k_s$  остается во всех случаях одинаковым.

2. Введено понятие о подобии диаграмм по деформациям.

3. Показано, что при обычных скоростях и температурах деформирования критерием подобия механических свойств деформируемых материалов является только подобие диаграмм по напряжениям.

4. Показано, что после разгрузки тел, изготовленных из материалов с подобными механическими свойствами удовлетворяющих закону подобия Кирпичева, геометрически подобные тела остаются геометрически подобными: остаточные относительные деформации в сходственных точках одинаковы.

## ЛИТЕРАТУРА

1. В. Л. Кирпичев. Журнал русского физико-химического общества, VI, 1874.
2. Н. Н. Давиденков. Некоторые проблемы механики материалов. Лениздат, 1943.
3. С. И. Губкин. Подобные условия деформации при обработке металлов давлением. Изв. АН СССР, ОТН, 1947, № 1.
4. А. А. Ильюшин. Моделирование горячих и скоростных процессов обработки металлов давлением. В книге «Прогрессивная технология кузнецко-штамповочного производства» Машгиз, 1953. ЛОНИТОМАШ. Книга 31.
5. П. В. Камнеев. Современное состояние теории и практики кузнецко-штамповочного производства и основные направления их развития. В книге, указанной в [4].
6. М. П. Марковец и К. И. Фролова. О коэффициенте поперечной деформации в пластической области на пределе текучести. ЗЛ. 1951, № 5.